

MU5MES01

Nonlinear structural mechanics by the finite element method.

Singularities in linear problems

Corrado Maurini

References

References on singularities in linear problem:

- Szabo and Babuška, Ch. 6

https://classes.engineering.wustl.edu/mase5510/Chapter_6.pdf

- J.J.Marigo, Elasticité et Rupture, Ed Ecole Polytechnique Ch.4.2

https://moodle.polytechnique.fr/pluginfile.php/30014/mod_resource/content/1/ElasticiteRupture.pdf

Singularities

The regularity of the solution depends on the regularity of the

- Boundary conditions
- Source terms
- Geometry
- Material

If any of the above is not regular, the solution will not be smooth. Knowing the more common type of singularity is fundamental to analyse the solution and choose a suitable discretisation.

We distinguish between:

- (A) Smooth problems, where no singularities are present
- (B) Problem with singularities.

Geometric singular points

Non-smooth boundaries (notches and angles) implies point singularities in 2D (white point)

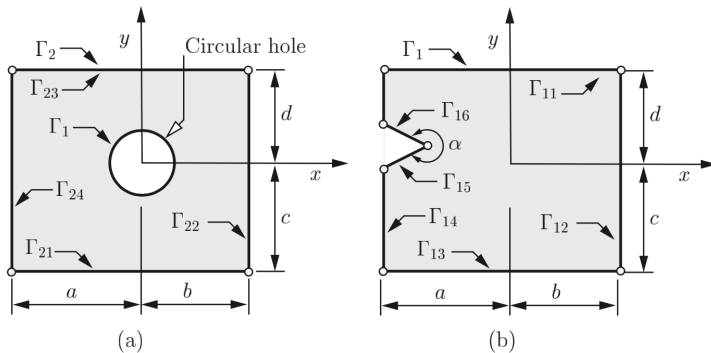


Figure 6.1 Typical geometric singular points associated with planar domains.

Singularities: examples

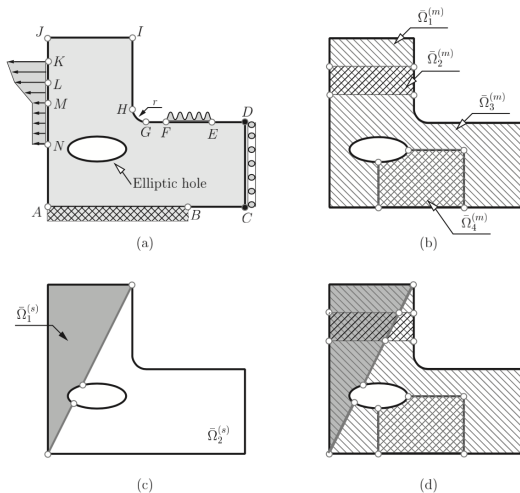
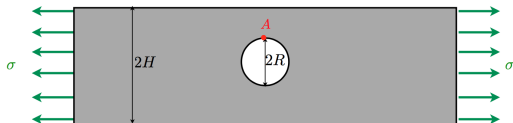


Figure 6.2 Typical singular points associated with (a) boundary conditions, (b) material interfaces, (c) source terms, (d) a combination of material interfaces and source terms.

Holed plate

► Calcul de la concentration des contraintes en A



- En milieu infini
au bord de la cavité

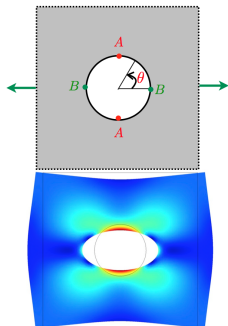
$$\sigma_{\theta\theta}(R, \theta) = (1 - 2 \cos 2\theta)\sigma$$

$$\Rightarrow \begin{cases} \sigma_{\theta\theta}(A) = 3\sigma \\ \sigma_{\theta\theta}(B) = -\sigma \end{cases}$$

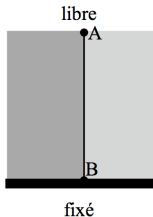
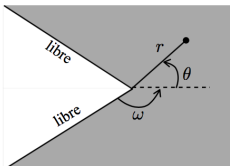
- Dans une bande de largeur H

$$\sigma_{\theta\theta}(A) = f \left(\frac{R}{H} \right) \sigma$$

R/H	0	1/3	1
f	3	3.75	∞



Singularities



► forme des déplacements

$$\underline{\underline{\xi}} = \sum_{i=1}^N K_i r^{\alpha_i} \underline{U}^i(\theta) + \dots$$

- $$\left\{ \begin{array}{ll} N & : \text{nombre de singularités} \\ \alpha_i & : \text{puissance de la } i\text{-ème singularité} \\ \underline{U}^i & : \text{fonction angulaire de la } i\text{-ème singularité} \\ K_i & : \text{facteur d'intensité de la } i\text{-ème singularité} \end{array} \right.$$

► forme des contraintes

$$\underline{\underline{\sigma}} = \sum_{i=1}^N K_i r^{\alpha_i-1} \underline{\underline{S}}^i(\theta) + \dots$$

► restrictions sur la puissance de la singularité

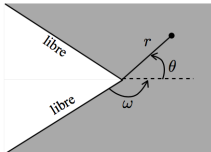
- contraintes non bornées : $\alpha_i < 1$
- énergie élastique finie : $\alpha_i > 0$

$$\frac{1}{2} \underline{\underline{\sigma}} : \underline{\underline{\varepsilon}} dV \sim r^{\alpha_i-1} r^{\alpha_i-1} r dr d\theta \sim r^{2\alpha_i-1} dr d\theta$$

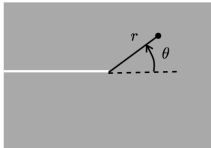
$$0 < \alpha_i < 1$$

Notches (antiplane elasticity: Laplacian)

singularités en fond d'entaille en élasticité anti-plane



$$\underline{\xi}(\underline{x}) = \begin{pmatrix} 0 \\ 0 \\ \xi_z(r, \theta) \end{pmatrix}$$



► Coin avec bords libres

- élasticité linéaire isotrope
- forces volumiques régulières

$$\frac{\pi}{2} < \omega \leq \pi$$

$$\xi_z = K r^{\frac{\pi}{2\omega}} \sin \frac{\pi}{2\omega} \theta + \dots$$

► Fissure avec bords libres

- élasticité linéaire isotrope
- forces volumiques régulières

$$\omega = \pi$$

$$\xi_z = K \sqrt{r} \sin \frac{\theta}{2} + \dots$$

Remarque : la fissure correspond à la puissance la plus faible (donc à la singularité la plus forte)

Remarques :

- la constante multiplicative K (le facteur d'intensité de la singularité) reste indéterminée à ce stade
- le facteur d'intensité est une quantité globale qui dépend de l'ensemble des données (géométrie, élasticité, chargement)
- les forces volumiques ne jouent pas de rôle dans la mesure où elles ne sont pas (trop) singulières. (Elles interviennent dans les termes réguliers et dans la valeur de K).
- on obtient le même résultat si les bords de l'entaille sont soumis à des forces surfaciques pas (trop) singulières

Point load (Flamant problem)

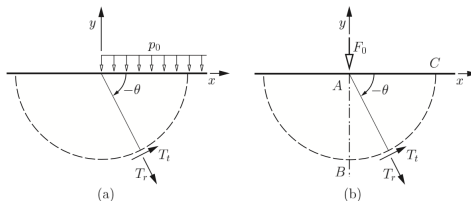


Figure 6.8 (a) Loading by a step function. (b) Loading by a concentrated force.

Solution using Airy stress function, polar coordinates and separation of variables:

$$\text{Airy}(r, \theta) = -\frac{F_0}{\pi} r \theta \sin(\theta) \quad \Rightarrow \quad \boxed{\sigma_r = \frac{2F_0}{r\pi}, \quad u(r \rightarrow 0) \rightarrow \infty} \quad (1)$$

- Stress are singular, displacement are singular, the energy is infinite
- In the finite element solution the energy of the solution depends on the mesh, as well as the maximum strain and displacement
- However, the solution far from the singular point does not depend on the mesh. You can use it but **ignore the local solution**.

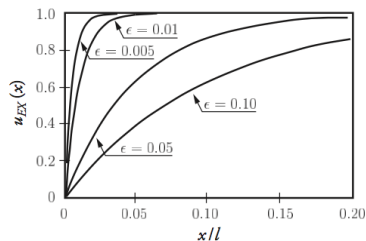
Boundary layers

Consider the problem of a bar on a elastic foundation of stiffness $k = \epsilon^2$

$$-u'' + \epsilon^2 u = 0, \quad u'(0) = u'(L) = 0 \quad (2)$$

The solution is in the form

$$u(x) = A \cosh(\sqrt{k}x) + B \sinh(\sqrt{k}x) \quad (3)$$



The mesh size should be adapted to \sqrt{k} at the ends of the bar to resolve the boundary layer.

How to deal with singularities in FE computation

- Preprocessing
 - List and analyze the possible type of singularities you can have from geometry, BC, loadings, materials, etc.
 - Suitably refine the mesh around the singularity
- Postprocessing
 - Understand the limitation of the numerical results due to singularities
 - Look only for meaningful results: for example do not look for maximal stress around a singular point, where stress are going to infinity